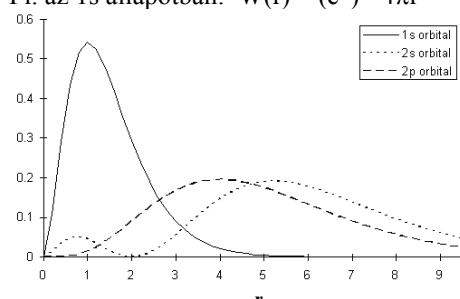


H-atom (folyt.)

Példa: mi a valószínűsége annak, hogy az elektron a magtól r távolságban van? ("radiális eloszlás")

Egy $4\pi r^2$ gömbfelületet kell tekintsünk:

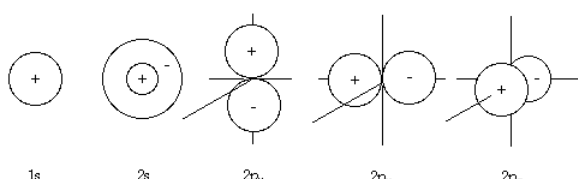
Pl. az 1s állapotban: $W(r) \sim (e^{-r})^2 \cdot 4\pi r^2$



Maximum éppen a bohr-sugárnál!

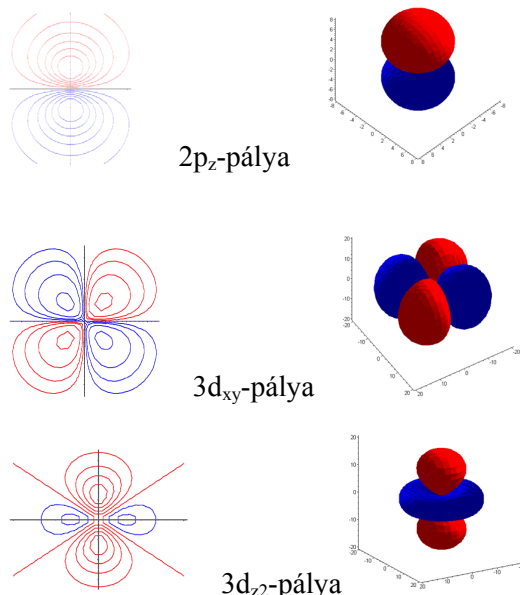
1. Iránydiagramok:

A tér egy adott irányába a függvény értékével arányos hosszúságú vektort húzunk, vegpontokat összekötve:

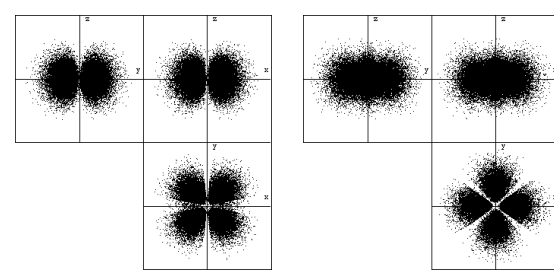
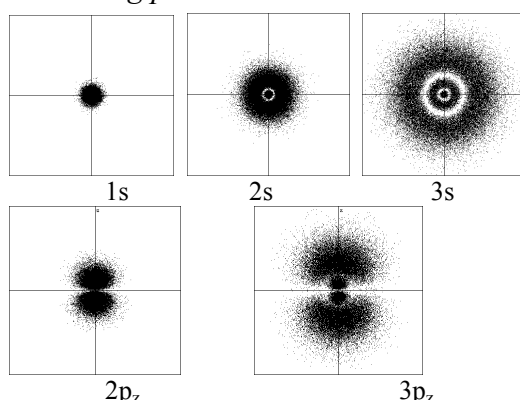


2. Szintvonalak (izofelületek)

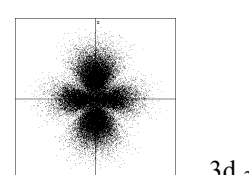
<http://www.catalysis.nl/~chembond/notes/Hatom/Hatom3.html>



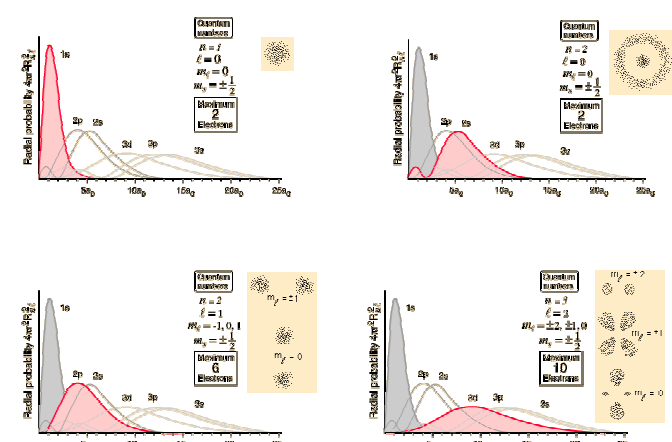
3. Sűrűség pontozással:



A: $3d_{xy}$, $3d_{xz}$ és $3d_{yz}$ hasonlóak, csak a tengelyek szerepet váltanak. B. $3d_{x^2-y^2}$. Az ábrák 3 síkmetszetet mutatnak.

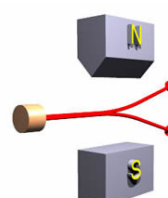


Még egyszer a radiális eloszlások és az el. sűrűség:



Az elektronspin

Két kísérleti tény: Stern-Gerlach, ill. a színkép finomszerk. <http://www.upscale.utoronto.ca/GeneralInterest/Harrison/SternGerlach/SternGerlach.html> An "electron gun" produces a beam of electrons. If the beam from the electron gun is directed to the magnets, as shown to the right, the beam is split into two parts. One half of the electrons in the beam are deflected up, the other half were deflected down. The amount of deflection up or down is exactly the same magnitude. Whether an individual electron is deflected up or down appears to be random. Stern and Gerlach did a version of this experiment in 1922.



Az elektronnak saját, a mozgásától független impulzus- (tehát egyben mágneses) momentumára van spinkv. szám: s ; a spinvektor z-vetülete: m_s .

Az imp. mom. nagysága: $\sqrt{s(s+1)}\hbar = (\sqrt{3}/2)\hbar$

z - vetülete: $\pm (1/2)\hbar$

Ugyanakkor, adott mechanikai momentumhoz a spin esetében kétszer akkora mág. mom. tartozik, mint a pályamozgás esetében (fent). Ha pl. a mech. momentum z-vetülete $\pm 1/2\hbar$, akkor $\mu_z = \pm \mu_b$

Többelektronos atomok elektronszerkezete

Minőségileg új a H-atomhoz képest: elektron-elektron kölcsönhatás. Leírás sokkal bonyolultabb.

Közeli modellen alapszik a kémiában többnyire használt kép: *független elektron modell* egy adott elektron a többi átlagos, gömbszimmetrikus terében mozog.

A hullámfv. legegyszerűbb matematikai alakja egy szorzatfüggvény, melynek tényezői a pályák.

$$\Psi(1,2,3, \dots n) = \psi_1(1)\psi_2(2)\psi_3(3) \dots \psi_n(n)$$

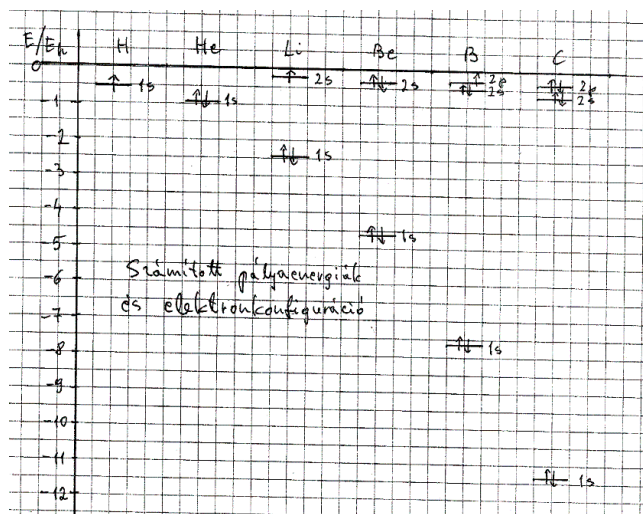
A ψ_i függvények a H-atom gerjesztett állapotaiként megismert pályák jellegét mutatják, melyeket itt is n, l, m kvantumszámok jellemznek.

A szokásos jelölés most is:

1s, 2s, 2p, 3s, 3p, 3d, stb.

A pályákhoz pályaenergia tartozik. Ez - szemben a H-atommal - n és l kv. számuktól függ! Egyszerű képlet itt nincs, de számolhatók. Vigyázat: az atom teljes energiája nem egyszerűen a pályaenergiák összege!

Az atomokban, ahogy növekszik a rendszám, az elektronok az *Aufbau*-elv szerint növekvő energia sorrendjében töltik be a pályákat.



A feltöltés során érvényesül a Pauli elv: két elektronnak nem lehet mind a négy kvantumszáma azonos. Más szóval: ha n, l, m adott, m_s még kétféle lehet, vagyis egy pályán a kétféle spinirányítottságának megfelelően max. két elektron lehet.

Héj:n; alhéj: n,l.

Fentiek szerint, egy alhéjon belül a pályák energiája azonos. (pl. a 3 db p-pálya, p_x, p_y, p_z)

Elektronkonfiguráció:

megadjuk az elektronok számát mindenegyes alhéjon.

Hund-szabály: ..adott alhéjon maximális számú párosítatlan - azonos spinű - elektron.

H: 1s¹; He: 1s²; Li: 1s²2s¹; Be: 1s²2s²; B: 1s²2s²2p¹;

Hasonlóan : CN.....O

Elektronkonfigurációk

2005/10

Z Symbol Neutral Positive ion

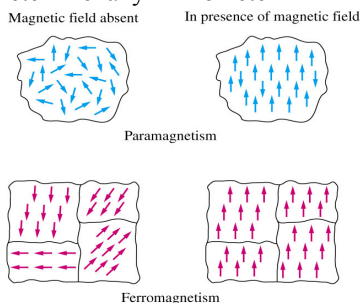
1	H	1s ¹	-
2	He	1s ²	1s ¹
3	Li	[He] 2s ¹	1s ²
4	Be	[He] 2s ²	[He] 2s ¹
5	B	[He] 2s ² 2p ¹	[He] 2s ²
6	C	[He] 2s ² 2p ²	[He] 2s ² 2p ¹
7	N	[He] 2s ² 2p ³	[He] 2s ² 2p ²
8	O	[He] 2s ² 2p ⁴	[He] 2s ² 2p ³
9	F	[He] 2s ² 2p ⁵	[He] 2s ² 2p ⁴
10	Ne	[He] 2s ² 2p ⁶	[He] 2s ² 2p ⁵
11	Na	[Ne] 3s ¹	[He] 2s ² 2p ⁶
12	Mg	[Ne] 3s ²	[Ne] 3s ¹
13	Al	[Ne] 3s ² 3p ¹	[Ne] 3s ²
14	Si	[Ne] 3s ² 3p ²	[Ne] 3s ² 3p ¹
15	P	[Ne] 3s ² 3p ³	[Ne] 3s ² 3p ²
16	S	[Ne] 3s ² 3p ⁴	[Ne] 3s ² 3p ³
17	Cl	[Ne] 3s ² 3p ⁵	[Ne] 3s ² 3p ⁴
18	Ar	[Ne] 3s ² 3p ⁶	[Ne] 3s ² 3p ⁵
19	K	[Ar] 4s ¹	[Ne] 3s ² 3p ⁶
20	Ca	[Ar] 4s ²	[Ar] 4s ¹
21	Sc	[Ar] 3d ¹ 4s ²	[Ar] 3d ¹ 4s ¹
22	Ti	[Ar] 3d ² 4s ²	[Ar] 3d ² 4s ¹
23	V	[Ar] 3d ³ 4s ²	[Ar] 3d ⁴
24	Cr	[Ar] 3d ⁵ 4s ¹	[Ar] 3d ⁵
25	Mn	[Ar] 3d ⁵ 4s ²	[Ar] 3d ⁵ 4s ¹
26	Fe	[Ar] 3d ⁶ 4s ²	[Ar] 3d ⁶ 4s ¹
27	Co	[Ar] 3d ⁷ 4s ²	[Ar] 3d ⁸
28	Ni	[Ar] 3d ⁸ 4s ²	[Ar] 3d ⁹
29	Cu	[Ar] 3d ¹⁰ 4s ¹	[Ar] 3d ¹⁰
30	Zn	[Ar] 3d ¹⁰ 4s ²	[Ar] 3d ¹⁰ 4s ¹
31	Ga	[Ar] 3d ¹⁰ 4s ² 4p ¹	[Ar] 3d ¹⁰ 4s ²
32	Ge	[Ar] 3d ¹⁰ 4s ² 4p ²	[Ar] 3d ¹⁰ 4s ² 4p ¹
33	As	[Ar] 3d ¹⁰ 4s ² 4p ³	[Ar] 3d ¹⁰ 4s ² 4p ²
34	Se	[Ar] 3d ¹⁰ 4s ² 4p ⁴	[Ar] 3d ¹⁰ 4s ² 4p ³
35	Br	[Ar] 3d ¹⁰ 4s ² 4p ⁵	[Ar] 3d ¹⁰ 4s ² 4p ⁴
36	Kr	[Ar] 3d ¹⁰ 4s ² 4p ⁶	[Ar] 3d ¹⁰ 4s ² 4p ⁵

A modern periódusos rendszer s-, p-, d-mezőre tagolható:

s block		d block												p block						
1s	1s	2s	3s	4s	5s	6s	7s	2p	3p	4p	5p	6p	7p	1s	2s	3s	4s	5s	6s	7s
1A	2A	3A	4A	5A	6A	7A	8A	3B	4B	5B	6B	7B	8B	9B	10B	11B	12B	13A	14A	15A
3B	4B	5B	6B	7B	8B	9B	10B	11B	12B	13	14	15	16	17	18	13	14	15	16	17
11	12	19	20	21	22	23	24	25	26	27	28	29	30	31	32	33	34	35	36	31
20	38	39	40	41	42	43	44	45	46	47	48	49	50	51	52	53	54	49	50	51
38	4d	39	40	41	42	43	44	45	46	47	48	49	50	51	52	53	54	81	82	83
4d	39	40	41	42	43	44	45	46	47	48	49	50	51	52	53	54	81	82	83	84
37	56	5d	71	72	73	74	75	76	77	78	79	80	81	82	83	84	85	86	81	82
56	5d	71	72	73	74	75	76	77	78	79	80	81	82	83	84	85	86	113	114	115
55	6d	103	104	105	106	107	108	109	110	111	112	113	114	115	116	117	118	113	114	115
6d	103	104	105	106	107	108	109	110	111	112	113	114	115	116	117	118	113	114	115	116
87	88	6d	103	104	105	106	107	108	109	110	111	112	113	114	115	116	117	118	113	114
4f	57	58	59	60	61	62	63	64	65	66	67	68	69	70	4f	57	58	59	60	
5f	89	90	91	92	93	94	95	96	97	98	99	100	101	102	5f	89	90	91	92	93

Mágneses tulajdonságok – az elektronszerkezet következménye: mozgó töltés - el. áram - mágnesség
diamágneses anyagok: a mágneses tér tasztítja; minden elektron párosított
paramágneses anyagok: a mágneses tér vonzza; egy vagy több párosítatlan elektron

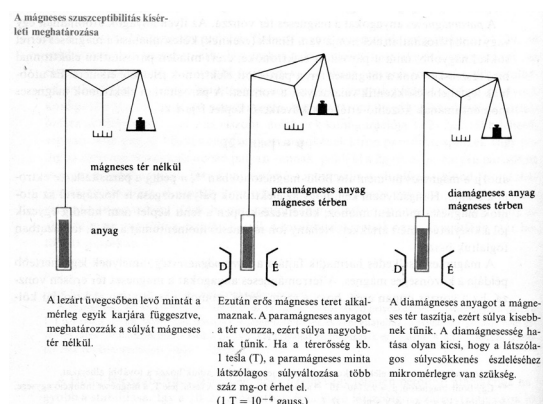
A párosítatlan elektronok mágneses momentumának közelítő értéke: $\mu = \sqrt{n(n+2)} \mu_0$, ahol μ_0 a Bohr-magneton, n pedig a párosítatlan elektronok száma.
ferromágneses anyagok: a mágneses tér erősen vonzza; a jelenség csak kondenzált fázisban figyelhető meg. A szomszédos atomok párosítatlan elektronjai egy bizonyos tartományon belül igen erősen kölcsönhatásban vannak, doméneket alakítva ki. A domének a ferromágneses anyagok olyan tartományai, amelyekben az atomi mágneses dipolusok egy irányban állnak. Az egyes domének mérete ~ néhány mikrométer.



Mágneses szuszceptibilitás: egységnyi mágneses térről által az anyagban indukált mágneses momentum.

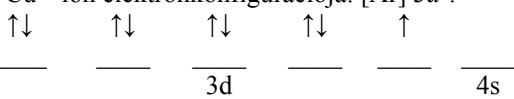
$$M = \chi H$$

M a momentum, H a térről, χ a szuszceptibilitás.



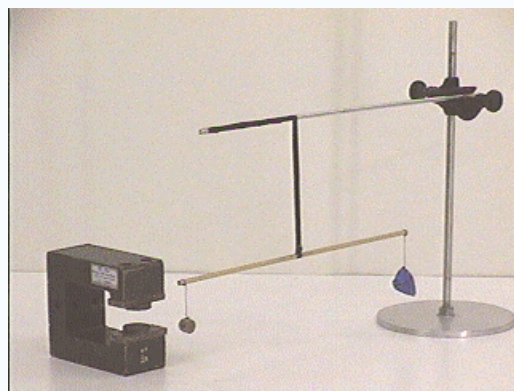
ion	a párosítatlan elektronok száma	számított momentum (B. M.)	mért momentum (B. M.)
V ⁴⁺	1	1,73	1,7–1,8
Cu ²⁺	1	1,73	1,7–2,2
V ³⁺	2	2,83	2,6–2,8
Ni ²⁺	2	2,83	2,8–4,0
Cr ³⁺	3	3,87	~ 3,8
Co ²⁺	3	3,87	4,1–5,2
Fe ²⁺	4	4,90	5,1–5,5
Co ³⁺	4	4,90	~ 5,4
Mn ²⁺	5	5,92	~ 5,9
Fe ³⁺	5	5,92	~ 5,9

Várhatóan mekkora a Cu²⁺ ion mágneses momentum? A Cu²⁺ ion elektronkonfigurációja: [Ar] 3d⁹.



A Cu²⁺-nak tehát egy párosítatlan elektronja van:
 $\mu = [1.(1+2)^{1/2} \cong 1.73 \mu_0]$

2005/11



Bizmut: diamágneses, mágneses tér tasztítja CuSO₄ paramágneses, mágneses tér behúzza

magnetism is a phenomenon by which **materials** exert an attractive or repulsive **force** on other materials. Some well known materials that exhibit easily detectable magnetic properties are **iron**, some **steels**, and the **mineral lodestone**; however, all materials are influenced to one degree or another by the presence of a **magnetic field**, although in most cases the influence is too small to detect without special equipment.

Magnetic **forces** are fundamental forces that arise due to the movement of electrical charge. Thus, **magnetism** is seen whenever electrically **charged particles** are in **motion**. This can arise either from movement of **electrons** in an **electric current**, resulting in 'electromagnetism', or from the constant **subatomic** movement of electrons, resulting in what are known as 'permanent magnets'.

The physical cause of the magnetism of objects, distinct from electrical currents, is the atomic magnetic dipole. Magnetic **dipoles**, or magnetic moments, result on the atomic scale due to the two kinds of movement of electrons. The first is the orbital motion of the electron around the **nucleus**; this can be considered as a current loop, resulting in a magnetic moment along the axis of the nucleus. The second, much stronger, source of electronic magnetic moment is due to a **quantum mechanical** property called **spin** (although current quantum mechanical theory states that electrons do not actually physically spin, or orbit the nucleus for that matter).

Paramagnetism and Diamagnetism

-
- A species with unpaired electrons is paramagnetic and is pulled into a magnetic field; one without unpaired electrons is diamagnetic and is pushed out of a magnetic field.
 - Paramagnetism and diamagnetism can be distinguished experimentally by an apparatus like that above.
 - (a) no magnetic field
 - (b) paramagnetic substance appears to weigh more.
 - (c) diamagnetic substance appears to weigh less.

A cseppfolyós oxigént a mágnes vonzza \Rightarrow paramágneses



Atomi tulajdonságok

2005/12

1. Ionizációs energia és elektronaffinitás

$$X = X^+ + e^- \quad \Delta H = I(\text{oniz.en.})$$

$$X + e^- = X^- \quad -\Delta H (\text{neg.}) = E.A.$$

mérésük : tömegsp., fotoelektron-spektr.
szám.: pályaenergiák

2. Az elektronegativitás (különböző definíciók)

1. Pauling

$$\text{"Extraionos energia": } \Delta = D_{AB} - 1/2(D_{AA} + D_{BB})$$

$$\text{elektronegativitás különbség: } x_A - x_B = \Delta^{1/2}$$

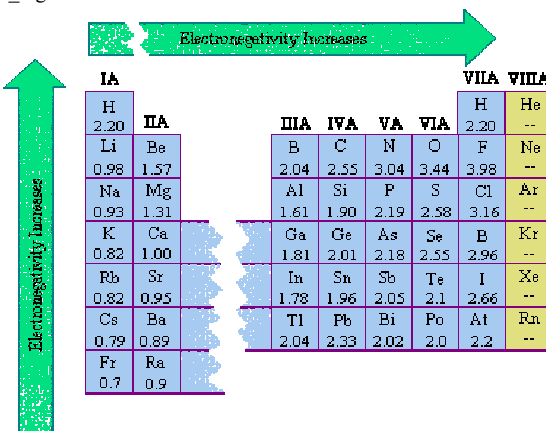
Fix pontok:

$$2. \text{ Mulliken } x = \text{const } 1/2 (\text{I.E.} + \text{E.A.})$$

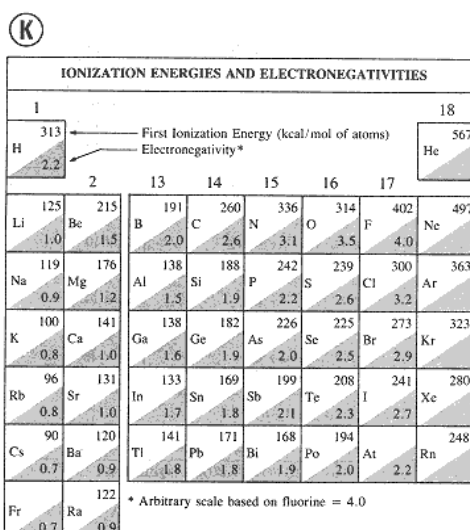
$$3. \text{ Allred-Rochow } x = \text{const } Z_{\text{eff}} / (r_{\text{cov}})^2$$

Hozzávetőleges értéktartományok rendszerben:

Leginkább a főcsoportbeli elemekre megbízhatóak
(bár a tábl. 2 tizedesjegye helyett reálisabb lenne 1).
http://chemed.chem.psu.edu/genchem/topicreview/bp/ch8/graphics/fig_8_8.gif



Ionizációs energiákkal összevetve:



Egy teljesebb áblázat:

1	2											13	14	15	16	17						
H 2.1	Be 1.5											Al 1.5	Si 1.8	P 2.1	S 2.5	Cl 3.0						
Li 1.0												Sc 1.3	Ti 1.5	V 1.6	Cr 1.6	Mn 1.5						
Na 0.9	Mg 1.2	3	4	5	6	7	8	9	10	11	12	Fe 1.8	Co 1.8	Ni 1.8	Cu 1.9	Zn 1.6						
K 0.8	Ca 1.0											Ge 1.6	As 1.8	Se 2.0	Br 2.8							
Rb 0.8	Sr 1.0											Y 1.2	Zr 1.4	Nb 1.6	Mo 1.8	Tc 1.9						
Cs 0.8	Ba 0.9											La* 1.1	Hf 1.3	Ta 1.5	W 2.4	Re 1.9						
Fr 0.7	Ra 0.9											Ac† 1.1										

below 1.0 2.0–2.4
1.0–1.4 2.5–2.9
1.5–1.9 3.0–4.0
Lanthanides: 1.1–1.3
Actinides: 1.3–1.5

3. Az atomrádiuszok kérdése

Valójában nem jól definiált. Különböző célokra különböző definíciók lehetségesek.

Kovalens rádiusz <http://www.iupsc.indiana.edu/radii.html>

The following tables are graciously furnished by Nat Alcock, Department of Chemistry, University of Warwick, UK. Please see that proper citation is given if the data are used. ... of the book *Bonding and Structure* by N. W. Alcock (Ellis Horwood, 1990). Paragraphs from this book relating to the strategy for determining the radii are given at the end.

A.1 Carbon-based Covalent Radii

A.1.1 Single bond radii (pm)

H : 29.9

Be	B	C	N	O	F
106	83.0	76.7	70.2	65.9	61.9
	Al	Si	P(III)	S(II)	Cl
	118	109.0	108.8	105.2	102.3
		Ge	As(III)	Se(II)	Br
		125	122	119.6	120.3
		In	Sn	Sb(III)	Te(II)
		141	139	137	139.1
					139.5

Többszörös kötések (pm)

	C	N	O
Single	76.7	70.2	65.9
Double	66.1	61.8	54.9
Triple	59.1	54.5	

Van der Waals - rádiuszok (pm)

	N	O	F
	155	152	147
	Si	P	S
	210	180	175
	Ge	As	Se
	195	185	190
	Sn	Sb	Te
	210	205	198

Fémekben: Metallic radii (12-coordinate) (pm)

Li	156.2	Be	112.8			
Na	191.1	Mg	160.2	Al	143.2	
K	237.6	Ca	197.4	Ga	141.1	
Rb	254.6	Sr	215.1	In	166.3	Sn
Cs	273.1	Ba	224.3	Tl	171.6	Pb
						175.0

Ionokban: (hasonlítsuk össze a semleges fémmel)

Cation radii (6-coordinate) (pm)

Li(+1)	90	Be(+2)	59	Al(+3)	67.5
Na(+1)	116	Mg(+2)	86.0	Ga(+3)	76.0
K(+1)	152	Ca(+2)	114	In(+3)	94.0

Néhány átmeneti fémre:

Ti	273.1	V	224.3	Cr	171.6	Mn	175.0
Fe	127.4	Co	125.2	Ni	124.6	Cu	127.8

Néhány átmeneti fém ionja:

Ti(+3)	81.0	V(+2)	93	Cr(+2)	87/94*	Mn(+2)	81/97.0*
Ti(+4)	74.5	V(+3)	78.0	Cr(+3)	75.5	Mn(+3)	72/78.5*

* Low spin and high spin values

Anionok:

.4.2 Anion radii (6-coordinate) (pm)

O (-2)	126	F (-1)	119
S (-2)	170	Cl (-1)	167
Se (-2)	184	Br (-1)	182
Te (-2)	207	I (-1)	206

Az atomrádiuszok meghatározásának különböző módjai

Figyeljük a megfontolások logikáját!

Procedures for radius calculations

5.7 Covalent Radii., some generally quoted radii are not very satisfactory, leading to wild proposals for their correction. [Notably the Schomaker-Stevenson correction.

The simplest values for covalent radii are therefore half the distances between identical singly bonded atoms. Unfortunately, these radii do not give very consistent results, particularly for the most electronegative atoms (sections 5.8.2 and 9.5). Instead, the most useful radii are those derived by subtracting the radius of carbon from C-X distances. The usefulness of these carbon-based radii seems to relate to three negative properties: carbon has no lone pairs, no empty p- or d-orbitals, and is not of high electronegativity. Each of these can perturb observed bond distances.

Subtraction of pairs of bond lengths can be used to examine the consistency of covalent radii. A simple example shows that the difference between the covalent radii of N and C is constant to about 1% of the N-C bond distance

NH ₂ -CH ₃	147.4	CH ₃ -CH ₃	153.4
NH ₃	101.5	CH ₄	109.3
difference	45.9	diff.	43.8 pm

The radius of carbon itself can be calculated from the bond distance in saturated hydrocarbon chains as 76.7 pm. Ideally, all single C-C bonds between sp³ hybridised atoms should be identical, but a detailed comparison (Allen et al. 1987) shows small systematic variations.

3.2.1 Metallic Radii

The metallic radii in these structures [close-packed structures] can easily be obtained, by taking half of the M-M distance. Standard metallic radii (tabulated in [Appendix A.3](#)) have been derived for 12-coordinate metals, though there has been no detailed study of the consistency of metallic radii from one structure to another.

4.5.1 Ionic radii scales. When we know one ionic radius, say for Na⁺, it is easy to obtain others, e.g. rCl⁻ = dNaCl - rNa⁺; rK⁺ = dKCl - rCl⁻, etc. A rather more sophisticated treatment avoids the arbitrary picking of NaCl+KCl rather than, say, NaF +KF to calculate rK⁺. We can express all the radii in terms of one unknown value and minimises the errors in the predicted interatomic distances (Waddington, 1966). The problem of finding this unknown value still remains. Various techniques have been used....

.... However, an extensive compilation of radii has been made by Shannon (1976), using the interatomic distances in fluorides and oxides. This has been presented in two forms, based respectively on rO²⁻ = 140 pm (rF⁻ = 133 pm) and on rF⁻ = 119 pm. The second set differ by only 1-2 pm from the ideal scale suggested above, and represent the best values currently available. [Appendix A.4](#) provides a range of these values for 6-coordinate ions. It is finally worth noting that ionic radii, like metallic radii, are affected by coordination number, though reliable ratios have not been derived.

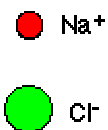
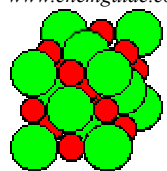
7.2.1 Van der Waals radii. As with other interactions, the interatomic distances in non-bonded attractions can be characterised by the radii of the atoms involved, here the van der Waals radii. These are, of course much larger than any other radii, and the weakness of the van der Waals forces means that the distances are rather variable. However, radii can be assigned to those atoms which often come into contact with each other. Careful study by Bondi (1964) provided the figures in Appendix A.2 (p.xx). These values are most often used in relation to observed distances between atoms, to decide if van der Waals bonding alone is present, or if some stronger bond is likely.

2005/14: xerox a Born-Haber körf.

A kémiai kötés

1. Iónos kötés:

www.chemguide.co.uk/atoms/structures/ionicstruct.html



Az "oktett"-elv (saját megfogalmazásban): az ionrácot alkotó ("ionkötésben" levő) ionok elektronszerkezete lehetőleg oktett, ill. általánosabban: zárt héj (v. alhéj).

pl. Zn [Ar] 3d¹⁰4s² → Zn²⁺ [Ar] 3d¹⁰

De: jelentőségét ne abszolutizáljuk ...

Átmeneti fémeknél igen sokféle dⁿ konfiguráció
(más kérdés, 1. később: a héj betöltődése a *ligandumok* elektronjaival együtt vállhat teljessé)

Pt. V(II) és V(III) el. konfig.:
V²⁺: (3d)³ V³⁺: (3d)²

Figyelem: láthatólag először a 4s el.ok válnak le ...

2. A kovalens kötés legegyszerűbb szimbolikája:
utólag: mivel én az ionos szerk.nél vezettem be az oktett-elvet,
általánosítani kell ítt

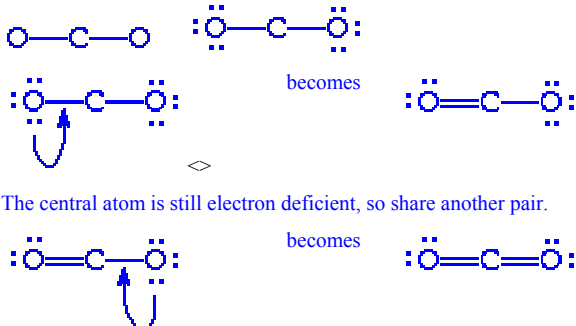
Lewis-szerkezetek

A formális szabályok, emlékeztető:

- Determine the number of valence electrons to be used to connect the atoms.
- Connect the central atom to the other atoms in the molecule with single bonds.
- Complete the valence shell of the outer atoms in the molecule.
- Place any remaining electrons on the central atom. If the valence shell of the central atom is complete, you have drawn an acceptable Lewis structure.
- If the valence shell of the central atom is not complete, use a lone pair on one of the outer atoms to form a double bond between that outer atom and the central atom. Continue this process ... until the valence shell of the central atom is complete.

1. Alappéldák: H₂O, CH₄, NH₃

2. Kettős-, hármaskötés: példa: CO₂



Az oktett-szabály nem szigorú!

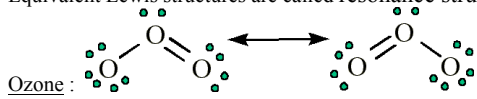
Elektronhiányos molekulák:

BeCl₂, BC₃

Oktettnél több elektron: PCl₅, SF₆, etc. 3. periódustól megengedett....

Rezonancia-szerkezetek

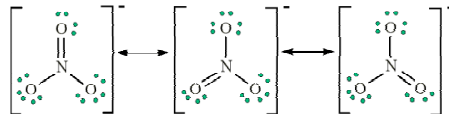
Equivalent Lewis structures are called resonance structures



Ozone: is described by an average of the two Lewis structures.

2005/15

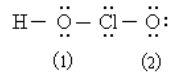
Példák csak rezonancia-szerkezetekkel leírható kötésekre:
Nitrát-ion



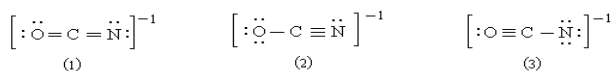
Fentiek delokalizált kötéssel is
Benzol

Néhány gyakorlat:

Mekkora a formális töltés az oxigén atomokon?



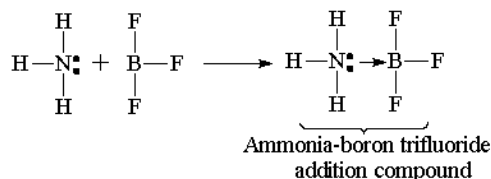
Az OCN⁻ ion melyik szerkezete a legvalószínűbb?



Ajánlott feladatok: PO₄³⁻, ClO₃⁻, BrO₂⁻, SO₃, kénsav.

Datív, koordinatív kötés

Addíciós vegyület:

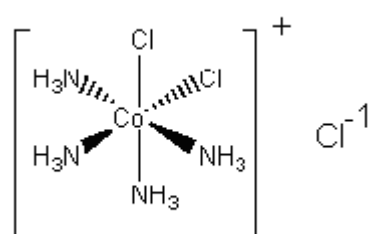


Koordinációs komplexek:

The coordination chemistry was pioneered by Nobel Prize winner [Alfred Werner](#) (1866-1919). He received the Nobel Prize in 1913 for his coordination theory of transition metal-amine complexes. At the start of the 20th century, inorganic chemistry was not a prominent field until Werner studied the metal-amine complexes such as [Co(NH₃)₆Cl₃]. Werner recognized the existence of several forms of cobalt-ammonia chloride. These compounds have different color and other characteristics. The chemical formula has three chloride ions per mole, but the number of chloride ions that precipitate with Ag⁺ ions per formula is not always three. He thought only **ionized chloride ions** will form precipitate with silver ion.

Solid	Color	Ionized Cl ⁻	Complex formula
CoCl ₃ 6NH ₃	Yellow	3	[Co(NH ₃) ₆]Cl ₃
CoCl ₃ 5NH ₃	Purple	2	[Co(NH ₃) ₅ Cl]Cl ₂
CoCl ₃ 4NH ₃	Green	1	trans-[Co(NH ₃) ₄ Cl ₂]Cl
CoCl ₃ 4NH ₃	Violet	1	cis-[Co(NH ₃) ₄ Cl ₂]Cl

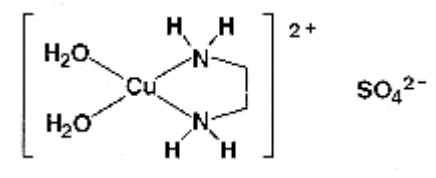
Egy kobalt-komplex szerkeze:



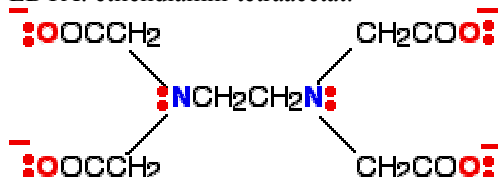
Többfogú ligandumok:

Pl. etilén-diamin: $\text{H}_2\text{N}-\text{CH}_2-\text{CH}_2-\text{NH}_2$
Copper ethylenediamine complex; Use: Herbicide

Növényvédő-szer, kiszerelés pl. szulfátként

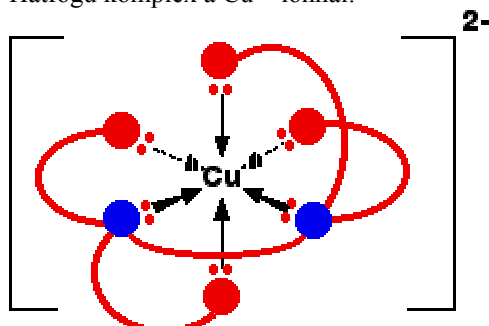


EDTA: etiléndiamin-tetraacetát:



the EDTA^{4-} ion

Hatfogú komplex a Cu^{2+} -ionnal:



the $[\text{Cu}(\text{EDTA})]^{2-}$ ion

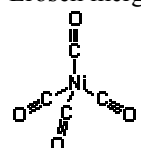
EDTA az élelmiszer-iparban:

Under the brand name Dissolvine®, Akzo Nobel offers a complete line of chelating agents for a wide range of food and non-food applications throughout the world. These include two FDA-approved food-grade EDTA chelating agents for direct and several other chelating agents for indirect food applications. One has also received EC approval. Whatever the application, there is a Dissolvine® specialty perfectly tailored to do the job.

Elektronszerkezet - és mágneses tulajdonságok:

$\text{Ni}(\text{CO})_4$ Nikkel-tetrakarbonil.

Erősen mérgező, illékony folyadék. Szerkezet:

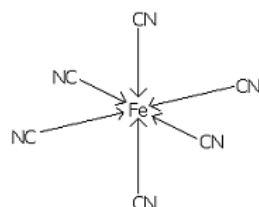


Elektronszerkezet: $3d^64s^2 + 4 \times 2$ el. = 18 el. a Ni körül.
(Úgy képzelhetjük el, hogy a Ni körül $3d^64s^24p^6$ konfig.)
Igazi kovalens kötés, zárt elektronhéj > diamágneses.

2005/16

Most tekintsük a Fe^{2+} ion komplexeit:

a) $\text{Fe}(\text{CN})_6^{4-}$ hexacianoferrát(II):



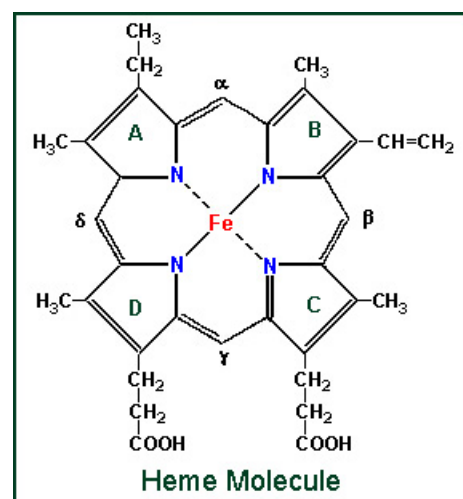
diamágneses. Előbbihez hasonlóan:
 $3d^6 + 6 \times 2$ el. = 18 el. a Fe körül.

(Berlini kék: $\text{Fe}_4[\text{Fe}(\text{CN})_6]_3$.)

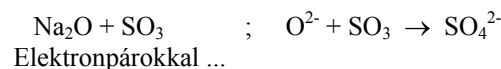
b) $\text{Fe}(\text{H}_2\text{O})_6^{2+}$ hexaakva-komplex:

paramágneses > párosítatlan elektron(ok). A koordinációs kötés nagyon gyenge, nagyjából a Fe^{2+} (perturbált) elektronszerkezete érvényesül - nyílt héj.

Komplexelek a természetben:
Hemoglobin: heme + fehérje



A Lewis-féle sav-bázis-elmélet lényege elektronpárátadása; tipikus datív kötés:

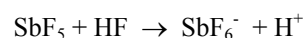


Gyakorlatban Friedel-Crafts katalizátorok:



Oláh György: szupersavak (superacids)

Pl. SbF_5 és HF elegye;



elektronpár átadása ..; Sb körül 12 elektron!

